

藕丝电参数对溶液 pH 值的 U/Ω 效应

聂敏，张天鹏，裴昌幸，权东晓，陈南

西安电子科技大学综合业务网国家重点实验室，西安 710071；

西安邮电学院，西安 710061

E-mail: mnie@xidian.edu.cn

2007-09-29 收稿, 2008-04-12 接受

国家自然科学基金(批准号: 60572147, 60672119)、陕西省科技攻关项目(编号: 2006K04-G33)和高等学校学科创新引智计划(编号: B08038)资助项目

摘要 为了研究藕丝的电特性参数与生物组织的相容性, 将藕丝从新鲜莲藕中取出, 制成长度相等的样本, 每 50 根为一束, 浸泡在不同 pH 值溶液中, 24 h 后取出。在温度为 23~25 °C、湿度为 45%~55% 的环境下, 测量其电感、电容和阻抗。结果表明, 藕丝电感和阻抗随溶液 pH 值呈现 U 形变化曲线, 而电容则呈现 Ω 形变化曲线, 其中 U 形曲线的最小值和 Ω 曲线的最大值正好与 pH 值为 7 的点(中性溶液)相对应, 称这种现象为 U/Ω 效应。该效应表明, 在中性溶液中, 藕丝阻抗和电感出现最小值, 而电容出现最大值, 这与生物组织的电参数变化规律一致, 表明藕丝与人体组织在电特征方面具有很好的相容性。本研究提示, 藕丝作为一种新型天然生物材料, 可能在组织工程、生物医学、生物电子和量子化学等领域具有潜在的广泛应用前景。

关键词

藕丝

生物医学工程材料

U/Ω 效应

pH 值

藕丝生长在莲藕的微孔中, 是一种天然生物材料, 具有无毒、易降解、易吸收等优点, 有可能成为一种新型生物工程材料, 但是其电特征参数与所浸泡的溶液 pH 值的关系目前尚不清楚。为此, 我们首先在电子显微镜下观察了它的微观结构, 然后将藕丝制作成束状样本, 放置在不同 pH 值的溶液中, 24 h 后测量其阻抗、电感和电容 3 种参数。结果表明, 藕丝的电特性与生物组织有很好的一致性。

生物医学工程材料是对生物体进行诊断、治疗、替换的功能性材料, 具有广泛的临床应用价值 [1,2]。近年来, 天然生物材料发展迅速, 为人工器官的体外培养 [3~5] 和人体器官的置换 [6~9] 开拓了广阔的前景。然而, 任何材料的临床应用不仅要求与人体有很好的相容性 [4~7], 而且要求具有无毒、易降解、易吸收等优点, 这对新型生物材料提出了更高的要求 [8~11]。

1 藕丝的微观结构

藕丝作为一种天然生物材料, 在可降解性、无毒

副作用、可吸收性等方面具有十分理想的特性, 能够满足生物医学工程的上述要求。但是, 目前尚未见到有关藕丝的电特性研究报告。为了观察其微观结构, 将新鲜莲藕清洗后从中折断, 从断裂处可见莲藕除了有 7~9 个大孔外, 还有许多微孔。通过电子显微镜, 发现每根藕丝由 6~8 根更细的微丝组成。图 1 是藕断丝连的照片。

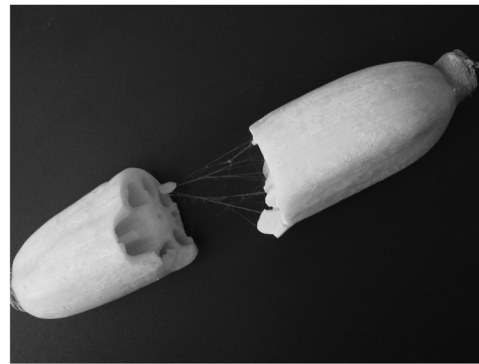


图 1 藕断丝连

在图2中(a)和(b)分别是放大500倍、10000倍的藕丝电子显微镜照片。可以看出，每根藕丝由6~8根更细的微丝组成，微丝的直径约200~300 nm，可能意味着藕丝在莲藕的生长过程中具有传递微量元素和环境信息(如温度、压力、pH值等)的作用。

2 实验

在实验中，具体测量方法和步骤为：(1)配制不同pH值溶液；(2)从新鲜的莲藕中采集藕丝；(3)将50根长度相同的藕丝并联成束；(4)置藕丝于不同pH值溶液中，24 h后取出待测；(5)采用4端式LCR测试仪测量电参数，详细记录测试数据；(6)分析测试结果。

3 藕丝电参数的测量方法及测量结果

生物医学工程要求生物材料与人体组织有很好的相容性，其中包括电参数的相容性，但是藕丝的电感、电容、阻抗等电特征参数随环境的酸碱度如何变化，尤其是与所浸泡的溶液pH值的关系目前尚不清楚。为此，我们将藕丝制作成相同长度的样本，浸泡在不同pH值溶液中，24 h后取出，进行电参数测量。由于单根藕丝太细，不便测量，只好将50根相同长

度的藕丝并联测量，结果如图3所示。

在图3中(a)~(c)分别为藕丝阻抗、电感和电容随溶液pH值变化的曲线。

图3(a)为藕丝阻抗随溶液pH值变化的测量结果。可以看出，随着溶液pH值的变化，藕丝阻抗先由大变小，再由小变大，呈现U形变化曲线；曲线的最小值对应于pH值为7的点，表明在中性溶液中，藕丝阻抗最小，这与人体组织的阻抗特性是一致的。图3(b)为藕丝电感随溶液pH值变化的测量结果。可以看出，藕丝的电感与阻抗具有类似的变化规律，也是U形曲线；曲线的最小值与pH值为7的点相对应，表明在中性溶液中，藕丝电感最小，该结果与人体组织的电感特性也是一致的。图3(c)为藕丝电容随溶液pH值变化的测量结果。由该图可见，随着溶液pH值的变化，藕丝电容先由小变大，再由大变小，呈现Ω形变化曲线；曲线的最大值对应于pH值为7的点，说明在中性溶液中，藕丝电容值最大，这与人体组织的电容变化规律也是一致的。

4 不同pH值溶液的配制方法

在实验中，不同pH值的酸性溶液配制方法和步

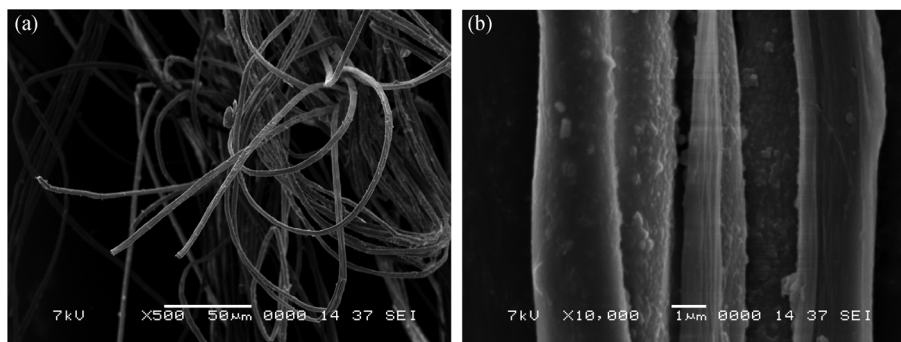


图2 放大不同倍数的藕丝扫描电子显微镜照片

(a) 500倍; (b) 10000倍

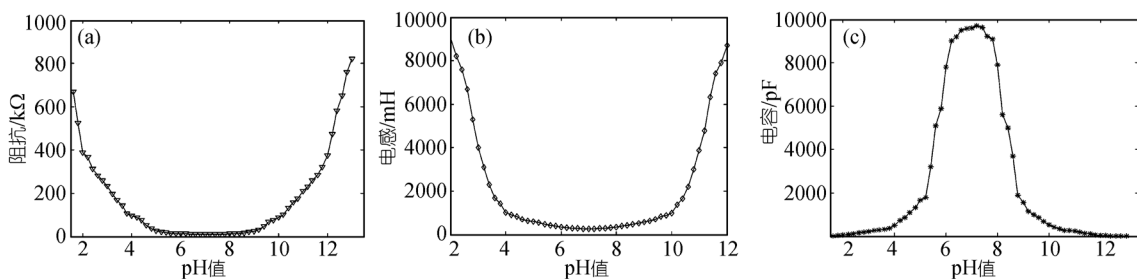


图3 藕丝不同参数随溶液pH值变化曲线

(a) 阻抗; (b) 电感; (c) 电容

骤为：(1) 用移液管取 4.2 mL 37% 的浓盐酸，加入到 50 mL 的容量瓶中，用蒸馏水稀释定容摇匀可得到 pH = 0 的酸性溶液；(2) 取 5 mL 已配制好的 pH = 0 的酸溶液加入到 50 mL 容量瓶中，用蒸馏水稀释定容摇匀，可得到 pH = 1 的酸性溶液；(3) 取 5 mL pH = 1 的溶液，重复以上操作可得 pH = 2 的酸性溶液；(4) 根据以上操作，依次可得到 pH = 3, 4, 5, 6 的酸性溶液；(5) 取 5 mL 已配制好的 pH = 1 的溶液，加入到 10 mL 容量瓶中，用蒸馏水稀释定容摇匀，可得到 pH = 1.2 的酸性溶液；(6) 取 5 mL 已配制好的 pH = 1.2 的溶液，加入到 20 mL 容量瓶中，用蒸馏水稀释定容摇匀，可得到 pH = 1.4 的酸性溶液；(7) 取 5 mL 已配制好的 pH = 1.4 的溶液，加入到 40 mL 容量瓶中，用蒸馏水稀释定容摇匀，可得到 pH = 1.6 的酸性溶液；(8) 根据以上操作，依次可得到更密集的不同 pH 值的酸性溶液。

在实验中，不同 pH 值的碱性溶液配制方法为：(1) 用分析天平称取 2 g 固体氢氧化钠，将其溶解在 50 mL 容量瓶中，用蒸馏水溶解定容，可得到 pH = 14 的碱性溶液；(2) 取 5 mL 已配制好的 pH = 14 的碱溶液加入到 50 mL 容量瓶中，用蒸馏水稀释定容摇匀，可得到 pH = 13 的碱性溶液；(3) 取 5 mL pH = 13 的碱性溶液，重复以上操作可得 pH = 12 的碱性溶液；(4) 根据以上操作，依次可得 pH = 11, 10, 9, 8 的碱性溶液。(5) 根据上述酸性溶液的配制方法和操作，依次可得到更密集的不同 pH 值的碱性溶液。

另外，取 2.2 g Na₂HPO₄ 和 0.55 g NaH₂PO₄，置于 100 mL 容量瓶中，加入 30 mL 蒸馏水，待磷酸盐溶解后，用蒸馏水稀释定容为 100 mL，可得到 pH 值为 7.0~7.2 的溶液。

对于上述不同溶液，在将藕丝样本浸泡之前和 24 h 取出之后，用广泛 pH 试纸和精密 pH 试纸进行对比测试，结果与实际 pH 标称值符合，表明溶液 pH 值的稳定性。

5 等效电路和测量误差分析

在电参数测量过程中，我们采用 LCR 数字电桥测量仪(型号 MT4080)。该仪器采用微机控制，可自动测量电阻、电容、电感、阻抗等参数。仪器内置信号发生器，配有微机接口和各种测试夹。采用 4 端电桥原理，可选择使用并联或串联电路测定多种参数。

考虑到本研究中实验的特殊性，测量电极如图

4(a)。这是一种特殊的银制夹形平板卡口电极。电极连接线全部屏蔽，减少了外界电磁感应的影响。

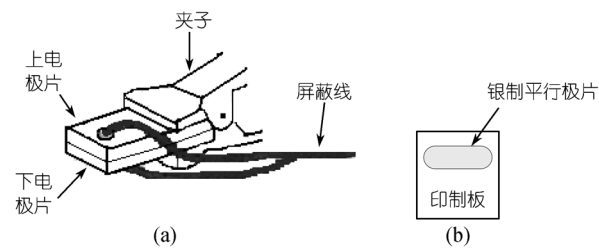


图 4 测量电极形状

(a) 电极正面; (b) 电极外观

测量时，将待测藕丝的一端平铺在电极片上，如图 5 所示，先将上下电极片对齐，然后用夹子固定。

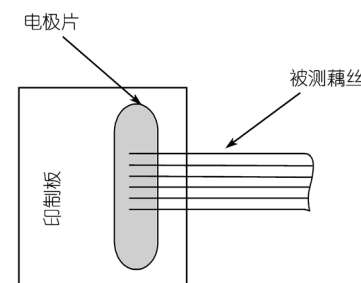


图 5 藕丝测试放置图

根据电子技术原理，电容的阻抗与电容量成反比，电感的阻抗与电感量成正比。在本实验中，藕丝可等效为具有分布参数的器件，其分布电容和电感很小，为了减小测量误差，电容测量用并联测量模式，电感测量用串联模式。

在测量中，考虑到藕丝属于生物分子材料，测量结果与测量方法、测量仪器密切相关，特别是在藕丝与电极之间存在接触电阻、接触电容和接触电感，影响了测量结果的准确性。根据 LCR 测试仪的测试补偿原理，对接触电阻采取了补偿措施。图 6 是接触电阻测量原理图，其中图 6(a)是接触电阻的等效电路，图 6(b)是接触电阻的测量电路， R_s , L_s , C_s 分别表示接触电阻、接触电感和接触电容， Z_{out} 为藕丝的阻抗， Z_m 为测量仪显示的阻值。

根据图 6(a)，存在以下关系：

$$Z_s = R_s + j\omega L_s, \quad (1)$$

$$Z_{out} = \frac{Z_m - Z_s}{1 - (Z_m - Z_s) \frac{1}{j\omega C_s}}. \quad (2)$$

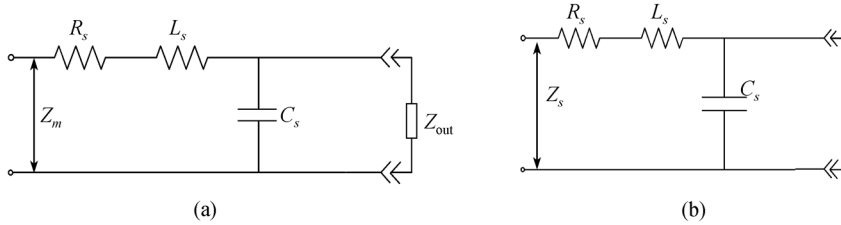


图 6 接触电阻测量原理图

(a) 接触电阻等效电路; (b) 接触电阻测量电路

通过以上两式，可得藕丝的阻抗 Z_{out} ，这样就消除了接触阻抗的影响。

对于接触阻抗所引起的测量误差可通过(3)式进行分析。根据图 6(a)，有如下关系：

$$Z_s + \frac{Z_{out} \times \frac{1}{j\omega C_s}}{Z_{out} + \frac{1}{j\omega C_s}} - Z_{out} = R_s + j\omega L_s - \frac{Z_{out}^2}{Z_{out} + \frac{1}{j\omega C_s}}. \quad (3)$$

可以看出，当 R_s ， L_s ， C_s 很小时，所引起的测量误差也非常小。

对接触电容、接触电感引起的测量误差，也可通过类似方式进行处理。

在测量中，50根藕丝并联成束测量，可能会由于藕丝表面的糖类、脂类物质没有去除而导致本体信号和非本体信号的问题。为了区别本体信号，根据文献[12,13]，对成束藕丝建立研究模型，其等效电路如图 7 所示。

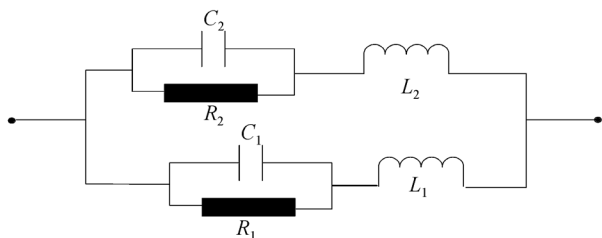


图 7 本体参数分析模型

在图 7 中， C_1 ， R_1 ， L_1 分别为藕丝的本体信号（电容、电阻和电感）， C_2 ， R_2 ， L_2 为非本体信号。这样，电路的总阻抗为

$$Z = Z_1 Z_2 / (Z_1 + Z_2). \quad (4)$$

其中

致谢 衷心感谢在实验测试中给予帮助的各位专家，特别感谢朱畅华博士和曹全喜教授；审稿专家对本文提出了很有

$$Z_1 = \frac{R_l \times \frac{1}{j\omega C_1}}{R_l + \frac{1}{j\omega C_1}} + j\omega L_1, \quad (5)$$

$$Z_2 = \frac{R_2 \times \frac{1}{j\omega C_2}}{R_2 + \frac{1}{j\omega C_2}} + j\omega L_2. \quad (6)$$

为求出本体信号，在测量仪上设定 6 个不同频率进行测试，所测到的 6 个总阻抗 Z 值分别为 $Z_{01}, Z_{02}, Z_{03}, Z_{04}, Z_{05}, Z_{06}$ 。将该结果代入(4)~(6)式，联立求解方程，即可求出本体信号 C_1 ， R_1 和 L_1 。

6 结论

根据上述实验，我们将藕丝电参数对溶液 pH 值的变化规律称为 U/Ω 效应。产生该效应的原因，可能是因为蛋白质分子同时存在 NH_2 ， COOH 基或 NHCO 基，属于两性化合物。当藕丝中的蛋白质与酸碱溶液接触时，蛋白质分子所带离子的种类和数量发生变化，导致所带电荷随之改变。文献[14,15]测定了牛血清蛋白在不同 pH 条件下的带电量，研究了不同 pH 条件下的双电层结构，表明蛋白质所带电荷越多，其双电层中反电荷也越多，形成了高的电容值和低的电抗。但是，不同蛋白质并非都对中性溶液呈现最高电荷值。文献[16]研究表明， α -Chymotrypsin 在 pH=8.25 时电荷最低，这可能与蛋白质的不同结构有关。目前几乎未见到具有 NHCO 基的生丝质蛋白质随 pH 的电荷变化情况的文献报道。由此可见，对藕丝电参数 U/Ω 效应的准确解释需要跨学科间深入而系统的研究。本研究提示，藕丝作为一种新的天然材料可能在生物医学工程、生物电子、生物材料和量子化学等领域具有潜在的应用前景。

价值的意见和建议，在此深表感谢。

参考文献

- 1 Naoto K, Dai F, Oliver G K, et al. Tissue engineering: creation of long-lasting blood vessels. *Nature*, 2004, 428: 138—139[\[DOI\]](#)
- 2 Patricia Y W, Dankers M C, Harmsen L A, et al. A modular and supramolecular approach to bioactive scaffolds for tissue engineering. *Nature Mater*, 2005, 4: 568—574[\[DOI\]](#)
- 3 Flores I, Cayuela M L, Blasco M A. Effects of telomerase and telomere length on epidermal stem cell behavior. *Science*, 2005, 309(5378): 1253—1256[\[DOI\]](#)
- 4 Scott J H. Porous scaffold design for tissue engineering. *Nature Mater*, 2005, 4: 518—524[\[DOI\]](#)
- 5 Langer R, Vacanti J P. Tissue engineering. *Science*, 1993, 260(5110): 920—926[\[DOI\]](#)
- 6 Wang Y, Kim U J, Blasioli D J, et al. In vitro cartilage tissue engineering with 3D porous aqueous-derived silk scaffolds and mesenchymal stem cells. *Biomater*, 2005, 26 (34): 7082—7094[\[DOI\]](#)
- 7 Blau H M, Brazelton T R, Weimann J M. The evolving concept of a stem cell: entity or functions. *Cell*, 2001, 105(2): 8292—8411[\[DOI\]](#)
- 8 Sahoo S, Ouyang H, Goh J C. Characterization of a novel polymeric scaffold for potential application in tendon/ligament tissue engineering. *Tissue Eng*, 2006, 12(1): 91—99[\[DOI\]](#)
- 9 Briem F J, Harley B A, Yannas I V. The effect of pore size on cell adhesion in collagen-GAG scaffolds. *Biomaterials*, 2005, 26(4): 433—441[\[DOI\]](#)
- 10 Fujita M, Kinoshita Y, Sato E, et al. Proliferation and differentiation of rat bone marrow stromal cells on poly(glycolic acid)-collagen sponge. *Tissue Eng*, 2005, 11(9-10): 1346—1355[\[DOI\]](#)
- 11 Hsu S H, Chang S H, Yen H J, et al. Evaluation of biodegradable polyesters modified by type II collagen and Arg-Gly-Asp as tissue engineering scaffolding materials for cartilage regeneration. *Artif Organs*, 2006, 30(1): 42—55[\[DOI\]](#)
- 12 伍凌. 干旱对植物生理电特性影响的试验研究. 硕士学位论文. 西安: 西北农林科技大学, 2005
- 13 马岚, 杨玉星. 生物电阻抗特征参数提取方法及测量系统的研究. 航天医学与医学工程, 2001, 15: 199—202
- 14 Vincent L V, Clark K C, Kenneth A S. The osmotic pressure of concentrated protein solutions: Effect of concentration and pH in saline solutions of bovine serum albumin. *J Coll Inter Sci*, 1981, 79(2): 548—551[\[DOI\]](#)
- 15 林阳政, 李以圭, 陆九芳. 牛血清蛋白在 NaCl 水溶液中渗透压的研究. 化学学报, 2001, 59(12): 2110—2113
- 16 Haynes C A, Tamura K, Korfer H R, et al. Thermodynamic properties of aqueous α -chymotrypsin solution from membrane osmometry measurements. *J Phys Chem*, 1992, 96: 905—912[\[DOI\]](#)